

СООБЩЕНИЯ
ОБЪЕДИНЕННОГО
ИНСТИТУТА
ЯДЕРНЫХ
ИССЛЕДОВАНИЙ

ДУБНА



СЗУЧ. 11
Б-186

18/VI-75
P3 - 8904

3017/2-75

А.Байорек, З.Георгиу, Д.А.Корнеев, Р.Куля,
М.Попович, А.Д.Стойка

ОПРЕДЕЛЕНИЕ ФУНКЦИИ РАЗРЕШЕНИЯ
ДЛЯ ДИФРАКТОМЕТРА
ПО ВРЕМЕНИ ПРОЛЕТА

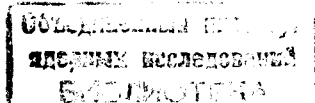
1975

РЗ - 8904

А.Байорек, З.Георгиу*, Д.А.Корнеев, Р.Куля,
М.Попович*, А.Д.Стойка*

ОПРЕДЕЛЕНИЕ ФУНКЦИИ РАЗРЕШЕНИЯ
ДЛЯ ДИФРАКТОМЕТРА
ПО ВРЕМЕНИ ПРОЛЕТА

* Институт атомной физики, Бухарест, Румыния.



Общая постановка вопроса о разрешении нейтронного дифрактометра по времени пролета, по существу, не отличается от постановки вопроса для обычного дифрактометра^{/1/}: функция разрешения $R(\vec{X})$, определенная в пространстве векторов рассеяния, есть функция прибора, свертка которой с сечением упругого рассеяния $\sigma(\vec{Q})$ определяет измеренную интенсивность нейтронов на детекторе $I(\vec{Q})$:

$$I(\vec{Q}) \propto \int R(\vec{X}) \sigma(\vec{Q} + \vec{X}) d\vec{X}. \quad (1)$$

Такая формулировка, в которой за переменную принимается не пролетное время, а отклонение $\vec{X} = \vec{Q}' - \vec{Q}$ текущего вектора рассеяния \vec{Q}' от среднего \vec{Q} , удобна тем, что отделяет приборную часть в сечении рассеяния от физической и позволяет рассмотреть различные виды сечения упругого (и квазиупругого) рассеяния с одинаковым подходом. В частном случае дифракции на поликристалле достаточно знания одномерной, зависящей от пролетного времени функции разрешения. В случае монокристалла нужно знать трехмерную функцию $R(\vec{X})$. Эта функция была рассчитана одним из авторов^{/2/} с помощью развитого им метода вычисления функций разрешения в нейтронной спектроскопии^{/3/}.

В настоящей работе представлены результаты экспериментальной проверки полученных в работе^{/2/} формул. Дается подробное описание вычислительного метода в том виде, в котором он воплотился в расчетную программу, для сравнения экспериментальных данных с теоретическими результатами.

1. Вычисление функции разрешения в нормальном приближении

Рассматривается установка для дифракции по времени пролета на импульсном реакторе в геометрии, изображенной на рис. 1. Детектор поставлен под средним углом рассеяния $2\theta_s$. Возьмем момент времени T_0 на анализаторе. При заданных средних расстояниях замедлитель - образец L_1 и образец - детектор L_2 значениям T_0 и θ_s соответствует средний вектор рассеяния $\vec{Q} = \vec{K}_{i0} - \vec{K}_{f0}$, где \vec{K}_{i0} и \vec{K}_{f0} - средние волновые векторы падающих и рассеянных нейтронов ($K_{i0} = K_{f0}$, $Q = 2K_{i0} |\sin \theta_s|$).

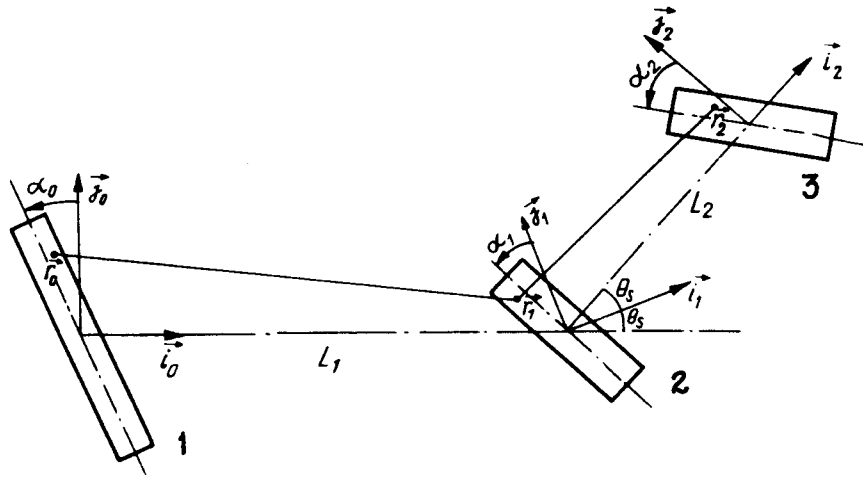


Рис. 1. Геометрия установки для дифракции по времени пролета на импульсном реакторе. Указаны системы координат, использованные при расчетах. Цифрами 1,2,3 обозначены замедлитель, образец и детектор соответственно.

Для построения функции разрешения в нормальном (гауссовом) приближении

$$R(\vec{X}) = R_0 (2\pi)^{-3/2} \left| \{ M_{ij} \} \right|^{-1/2} e^{-\frac{1}{2} \sum_{i,j=1}^3 M_{ij} X_i X_j} \quad (2)$$

необходимо рассчитать матрицу разрешения M . Удобнее найти сначала ее обратную, ковариационную матрицу M^{-1} , представляющую собой матрицу моментов второго порядка $\langle X_i X_j \rangle$ функции разрешения. Для этого нужно выразить \vec{X} через первичные переменные, а также задать ковариационную матрицу этих переменных ^{/2/}. Первичные переменные - это текущие координаты \vec{r}_j точек, в которых происходит вылет нейтрона из замедлителя ($j=0$), рассеяние на образце ($j=1$) и поглощение в детекторе ($j=2$), а также временные переменные t_0 и t_2 , где t_0 - момент вылета нейтрона из замедлителя, а t_2 - отклонение времени поглощения в детекторе от среднего времени T_0 . Вводится вектор \vec{V} , имеющий в качестве составляющих v_i эти переменные:

$$v_1 = x_0; v_2 = y_0; v_3 = z_0; v_4 = x_1; v_5 = y_1; v_6 = z_1; v_7 = x_2; v_8 = y_2; v_9 = z_2; v_{10} = t_0; v_{11} = t_2 \quad (3)$$

Системы координат выбраны, как показано на рис. 1. Все величины отсчитываются от нулевого среднего значения.

В линейном приближении связь между \vec{X} и \vec{V} выражается в виде $\vec{X} = A\vec{V}$, где A - матрица размером 3×11 . Удобно ввести промежуточное преобразование $\vec{X} = C\vec{U}$, $\vec{U} = B\vec{V}$, так что $A = C \cdot B$, где вектор \vec{U} имеет следующие составляющие:

$$u_1 = \Delta K_i / K_{i0}; u_2 = \gamma_i; u_3 = \delta_i; u_4 = \gamma_f; u_5 = \delta_f \quad (4)$$

Здесь $\Delta K_i = K_i - K_{i0}$ - отклонение модуля текущего волнового вектора падающих нейтронов \vec{K}_i от среднего значения K_{i0} ; γ_i, δ_i - углы между \vec{K}_i и \vec{K}_{i0} в плоскости

рассеяния и нормальной к ней, а γ_f, δ_f - те же углы между текущим волновым вектором \vec{K}_f рассеянных нейтронов и вектором \vec{K}_{f0} .

Элементы матрицы B размером 5×11 вычисляются путем элементарного рассмотрения реальной геометрии акта рассеяния при учете того, что в момент времени T регистрируются те нейтроны, для которых выполняется соотношение

$$\Delta K_i / K_{i0} = (t_0 - t_2) / T + (\Delta L_i + \Delta L_f) / L_0, \quad (5)$$

где $L_0 = L_1 + L_2$. Отклонения ΔL_i и ΔL_f от средних пролетных расстояний рассчитываются через координаты x_j, y_j в системах, изображенных на рис. 1. В результате получают следующие отличные от нуля матричные элементы матрицы B :

$$b_{11} = -1/L_0; b_{15} = -2 \sin \theta_s / L; b_{17} = -b_{11}; b_{1,10} = 1/T; b_{1,11} = b_{1,10};$$

$$b_{22} = -1/L_1; b_{24} = \sin \theta_s / L_1; b_{25} = \cos \theta_s / L_1;$$

$$b_{33} = b_{22}; b_{36} = -b_{22}; \quad (6)$$

$$b_{44} = \sin \theta_s / L_2; b_{45} = -\cos \theta_s / L_2; b_{48} = 1/L_2;$$

$$b_{56} = -b_{48}; b_{59} = b_{48}.$$

Элементы матрицы C размером 3×5 получаются из рассмотрения акта рассеяния в обратном, \vec{Q} -пространстве. Выбрав систему отсчета с осью X_1 вдоль \vec{Q} (рис. 2) и рассчитав составляющие вектора \vec{X} , получим следующие отличные от нуля матричные элементы c_{ij} :

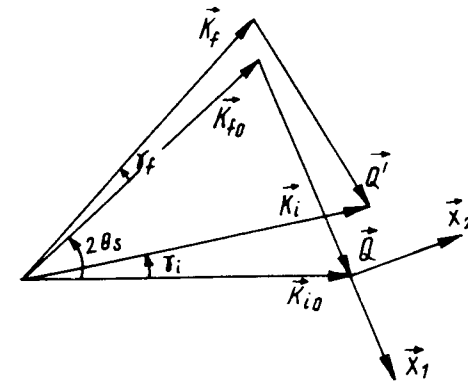


Рис. 2. Геометрия акта рассеяния в обратном пространстве. Указана система координат, в которой выражается функция разрешения.

$$c_{11} = 2\xi K_{i0} \sin \theta_s; c_{12} = -\xi K_{i0} \cos \theta_s; c_{14} = \xi K_{i0} \cos \theta_s;$$

$$c_{22} = \xi K_{i0} \sin \theta_s; c_{24} = \xi K_{i0} \sin \theta_s; \quad (7)$$

$$c_{33} = K_{i0}; c_{35} = -K_{i0}.$$

Здесь $\xi = \text{sign } \theta_s$.

Ковариационная матрица первичных переменных S^{-1} предполагается известной. В отсутствие соллеровских коллиматоров - это клеточно-диагональная матрица

$$S^{-1} = \{ P_0, P_1, P_2, \langle t_0^2 \rangle, \langle t_2^2 \rangle \}, \quad (8)$$

где P_j - ковариационные матрицы пространственных переменных x_j, y_j, z_j ($j=0,1,2$), относящихся к замедлителю, образцу и детектору соответственно, а $\langle t_0^2 \rangle$ и $\langle t_2^2 \rangle$ - это временные дисперсии нейтронной вспышки и ширины канала анализатора соответственно. Обозначим через $D_j = \{ \sigma_{xj}^2, \sigma_{yj}^2, \sigma_{zj}^2 \}$ ковариационные матрицы P_j

в диагональном представлении. Если замедлитель, образец и детектор представить в виде параллелепипедов с толщиной w_j , шириной l_j и высотой h_j , то диагональные элементы равны соответственно $w_j^2/12$, $l_j^2/12$ и $h_j^2/12$ (для цилиндра с радиусом R_j и высотой h_j нужно написать $\sigma_{xj}^2 = \sigma_{yj}^2 = R_j^2/12$ и $\sigma_{zj}^2 = h_j^2/12$). Ориентацию замедлителя, образца и детектора можно описать поворотами вокруг осей z_j , y_j , x_j на углы ϕ , ψ , χ соответственно. Обозначив через $P_z(\phi)$, $P_y(\psi)$ и $P_x(\chi)$ матрицы этих поворотов, получаем для матриц P_j , входящих в S^{-1} , выражения

$$P_j = P_z(\phi_j) P_y(\psi_j) P_x(\chi_j) D_j P_x'(\chi_j) P_y'(\psi_j) P_z'(\phi_j). \quad (9)$$

С помощью определенных выше матриц B, C и S^{-1} ковариационная матрица функции разрешения $M^{-1} = \{ \langle X_i X_j \rangle \}$ рассчитывается через соотношение

$$M^{-1} = AS^{-1}A' = C(BS^{-1}B')C' = CS^{-1}C'. \quad (10)$$

Обращением этой матрицы получается матрица разрешения M , входящая в нормальное приближение (2).

Явные выражения для матричных элементов $\langle X_i X_j \rangle$, рассчитанные по общей формуле (10) для случая без коллиматоров, приведены в работе ^{/2/}. Там же показано, что условия временной фокусировки ^{/4/} вытекают простым образом из этих выражений. Нетрудно также показать, что для точечного монокристаллического образца и бесконечно длинного детектора (поставленного горизонтально) выражение для временной дисперсии брэгговских пиков (формула (5) работы ^{/2/}) сводится к выражению, полученному недавно в работе ^{/5/}.

2. Техника измерения функции разрешения

Для измерения функции $R(\vec{X})$ удобен метод сканирования с помощью идеального монокристалла, разработанный первоначально для обычного дифрактометра ^{/6/}, который переносится без усложнений на случай дифракции по вре-

мени пролета. Так как сечение брэгговского рассеяния на идеальном монокристалле содержит дельта-функции $\delta(\vec{Q}-\vec{Q}_0)$, то измеренная интенсивность отраженных нейтронов пропорциональна $R(\vec{Q}_0-\vec{Q})$. Здесь $\vec{Q}_0 = -2\pi\vec{r}$, где \vec{r} - вектор обратной решетки кристалла-образца, соответствующий измеренному отражению.

Компоненты вектора $\vec{Q}_0-\vec{Q}$ контролируются изменением ориентации монокристалла около положения Брэгга при неподвижном детекторе. Если ϕ и χ - углы отклонения от брэгговского положения в плоскости рассеяния и перпендикулярно к ней, то в системе координат с осью X_1 , направленной вдоль \vec{Q} , составляющие вектора \vec{Q}_0 равны $(Q_0, Q_0\phi, Q_0\chi)$. Если теперь $T-T_0$ - отклонение от среднего времени пролета T_0 , соответствующего измеренному отражению, то $Q-Q_0/Q_0 = -(T-T_0)/T_0$, так что вектор $\vec{X} = \vec{Q}_0 - \vec{Q}$ имеет следующие составляющие:

$$X_1 = Q_0(T-T_0)/T_0; \quad X_2 = Q_0\phi; \quad X_3 = Q_0\chi. \quad (11)$$

Измерения интенсивности отраженных нейтронов в зависимости от $T-T_0$, ϕ и χ соответствуют, следовательно, поведению функции разрешения вдоль направлений X_1 , X_2 и X_3 соответственно, т.е. вдоль трех взаимно перпендикулярных направлений в \vec{Q} -пространстве.

3. Эксперимент

С целью проверки изложенного выше метода расчета проводились измерения функции разрешения установки для дифракции по времени пролета с использованием спектрометра КДСОГ-1 на импульсном реакторе ИБР-30. Была выбрана простейшая геометрия, без соллеровских коллиматоров. Нейтронный пучок выводился с поверхности (площадью $30 \times 40 \text{ см}^2$) неохлажденного водяного замедлителя толщиной в 4 см под углом в 12° к нормали. В качестве образца использовался тонкий диск монокристаллического кремния диаметром в 3,5 см с плоскостью (III), параллельной поверхности (монокристалл любезно предоставил нам Б.Халула). Образец располагался на

гонометрической головке на расстоянии $L_1 = 30$ м от замедлителя. Использовался один счетчик, поставленный вертикально на расстоянии $L_2 = 1,2$ м от образца.

В расчеты функции разрешения, помимо указанных параметров, определяющих геометрию опыта, входит также временная дисперсия $\langle t_0^2 \rangle$ нейтронной вспышки как функция энергии нейтронов. Остановимся подробнее на процедуре определения этого параметра. Так как форма теплового импульса определяется сверткой формы импульса быстрых нейтронов с функцией ответа замедлителя, то можно написать $\langle t_0^2 \rangle = \sigma_r^2 + \sigma_m^2$, где σ_r^2 и σ_m^2 - дисперсии соответствующих функций. Дисперсия функции ответа замедлителя зависит от энергии термализованных нейтронов, величину же σ_r^2 можно считать постоянной. Для представляющих интерес промежуточных энергий нет еще явных теоретических предсказаний относительно зависимости дисперсии σ_m^2 от энергии, однако есть подробные экспериментальные данные $^{7,8/}$. Эти данные, полученные на замедлителях, близких по форме к замедлителям реактора ИБР-30, были нами использованы для определения временной дисперсии σ_m^2 для водяного замедлителя толщиной в 5 см (рис. 2 работы $^{8/}$). При использовании данных тех же авторов $^{7/}$ по зависимости параметров импульса от толщины замедлителя полученные значения приводились к толщине в 4 см. Данные работы $^{7/}$ приведены на рис. 3. Оказывается, их можно параметризовать формулой $\sigma_m = \tau_0(1 - e^{-\lambda/\lambda_0})$, дающей правильные асимптотические зависимости от энергии (разумеется, такой вид интерполяционной формулы отнюдь не единственно возможный). Здесь λ - длина волны нейтронов. Параметры подгонки получились равными $\tau_0 = 64$ мкс и $\lambda_0 = 1,6$ Å.

Для определения постоянного вклада σ_r^2 в полную дисперсию $\langle t_0^2 \rangle$ измерялась диаграмма дифракции поликристаллического никеля под большим углом Брэгга ($2\theta_B = 171^\circ$). С помощью формул, выведенных в работе $^{2/}$, из дисперсий измеренных дифракционных максимумов извлекались значения $\langle t_0^2 \rangle$. На рис. 3 представлены эти значения для тех максимумов, для которых вклад $\langle t_0^2 \rangle$

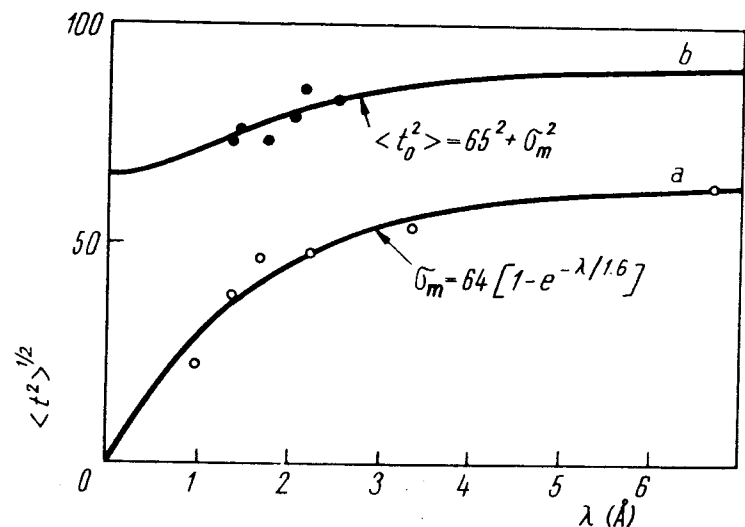


Рис. 3. Временная дисперсия нейтронного импульса в зависимости от длины волны нейтронов. о - данные по работе Ишмаева, Садикова и Чернышева $^{8/}$, приведенные к толщине замедлителя в 4 см, • - экспериментальные значения для реактора ИБР-30, полученные измерением дифракции на поликристалле под большим углом. Время по оси ординат отложено в микросекундах.

в полную ширину оказался выше 95%, т.е. поправки малы. Сплошная кривая "b" на рис. 3 соответствует значению $\sigma_r = 65$ мкс и была использована в дальнейших расчетах.

Форма импульса тепловых нейтронов не гауссова, а имеет явно выраженную асимметрию. Поэтому ее описание одной дисперсией неполно и нужно учесть также третий момент по времени $\langle t_0^3 \rangle$. Вопрос о вычислении функции разрешения в лучшем, чем нормальное, приближении (с учетом моментов высшего порядка) рассматривается в работе $^{9/}$.

4. Результаты

Измерялись спектры по методу времени пролета нейтронов, отраженных от плоскости (III) монокристалла кремния в различных порядках при двух брэгговских углах ($2\theta_B = 120^\circ$ и -85°) для ряда значений углов ϕ и χ . Двумерные массивы полученных данных обрабатывались для извлечения моментов порядка вплоть до четвертого. Определялись также кривые равной интенсивности на уровне 0,5 в плоскостях $T-T_0$, ϕ и $T-T_0$, χ .

В расчетах, сделанных для сравнения с экспериментальными данными, не было свободных параметров для подгонки. Исходными данными служили пролетные расстояния, размеры и ориентации замедлителя, образца и детектора, а также временная дисперсия вспышки тепловых нейтронов $\langle t_0^2 \rangle$, определение которой обсуждалось подробно в разделе 3.

Сравнение измеренных исправленных моментов с расчетными (табл. 1) обнаруживает удовлетворительное согласие. Расхождения в значениях моментов $\langle X_1^2 \rangle$, $\langle X_2^2 \rangle$, $\langle X_3^2 \rangle$, как правило, не превышают 10%. Несколько больше расхождения (около 20%) для момента $\langle X_1 X_2 \rangle$, но само значение момента значительно меньше остальных. Величина, дающая представление о глобальном разрешении в Q -пространстве, - это корень квадратный из определителя ковариационной матрицы $|\{ \langle X_i X_j \rangle \}|^{1/2}$. Эта величина пропорциональна объему эллипсоида разрешения в нормальном приближении. На рис. 4 представлены ее значения в зависимости от Q_0 .

На рис. 5 приведены измеренные и рассчитанные зависимости функции разрешения: от $T-T_0$ при $\phi=0$, $\chi=0$ и от ϕ при $T=T_0$, $\chi=0$. Они соответствуют сканированию функции разрешения вдоль X_1 и X_2 в обратном пространстве. Единственная подгонка кривых на рис. 5 состоит в нормировке по нулевому моменту экспериментальных данных (нормировка по площади). Гауссово приближение описывает хорошо зависимость от угла. По времени пролета наблюдается отклонение от гауссовой формы, связанное с асимметрией импульса тепловых нейтронов.

ТАБЛИЦА

Вычисленные и измеренные значения элементов ковариационной матрицы функции разрешения

Q_0 (\AA^{-1})	θ_s	$\langle X_1^2 \rangle$ (\AA^{-2})		$\langle X_2^2 \rangle$ (\AA^{-2})		$\langle X_1 X_2 \rangle$ (\AA^{-2})		$\langle X_3^2 \rangle$ (\AA^{-2})	
		ВЫЧ.	ИЗМ.	ВЫЧ.	ИЗМ.	ВЫЧ.	ИЗМ.	ВЫЧ.	ИЗМ.
2	$-42,5^\circ$	$9,28 \cdot 10^{-5}$	$9,28 \cdot 10^{-5}$	$6,26 \cdot 10^{-5}$	$6,74 \cdot 10^{-5}$	$-5,22 \cdot 10^{-5}$	$-5,72 \cdot 10^{-5}$	$1,10 \cdot 10^{-3}$	$1,14 \cdot 10^{-3}$
6	$-42,5^\circ$	$2,24 \cdot 10^{-3}$	$2,24 \cdot 10^{-3}$	$5,63 \cdot 10^{-4}$	$5,58 \cdot 10^{-4}$	$-4,70 \cdot 10^{-4}$	$-3,88 \cdot 10^{-4}$	$0,99 \cdot 10^{-3}$	$1,02 \cdot 10^{-3}$
8	$-42,5^\circ$	$5,87 \cdot 10^{-3}$	$6,56 \cdot 10^{-3}$	$1,00 \cdot 10^{-3}$	$1,04 \cdot 10^{-3}$	$-6,36 \cdot 10^{-4}$	$-6,00 \cdot 10^{-4}$	$1,76 \cdot 10^{-2}$	$1,81 \cdot 10^{-2}$
10	$-42,5^\circ$	$1,28 \cdot 10^{-2}$	$1,23 \cdot 10^{-2}$	$1,57 \cdot 10^{-3}$	$1,62 \cdot 10^{-3}$	$-1,31 \cdot 10^{-3}$	$-0,99 \cdot 10^{-3}$	$2,74 \cdot 10^{-2}$	$2,75 \cdot 10^{-2}$
6	$60,0^\circ$	$1,36 \cdot 10^{-3}$	$1,27 \cdot 10^{-3}$	$7,02 \cdot 10^{-4}$	$7,07 \cdot 10^{-4}$	$2,78 \cdot 10^{-4}$	$3,22 \cdot 10^{-4}$	$6,01 \cdot 10^{-3}$	$6,04 \cdot 10^{-3}$
8	$60,0^\circ$	$3,62 \cdot 10^{-3}$	$4,00 \cdot 10^{-3}$	$1,25 \cdot 10^{-3}$	$1,30 \cdot 10^{-3}$	$4,94 \cdot 10^{-4}$	$3,37 \cdot 10^{-4}$	$1,07 \cdot 10^{-2}$	$1,11 \cdot 10^{-2}$
10	$60,0^\circ$	$7,96 \cdot 10^{-3}$	$9,21 \cdot 10^{-3}$	$1,95 \cdot 10^{-3}$	$2,06 \cdot 10^{-3}$	$7,72 \cdot 10^{-4}$	$9,94 \cdot 10^{-4}$	$1,67 \cdot 10^{-2}$	$1,75 \cdot 10^{-2}$

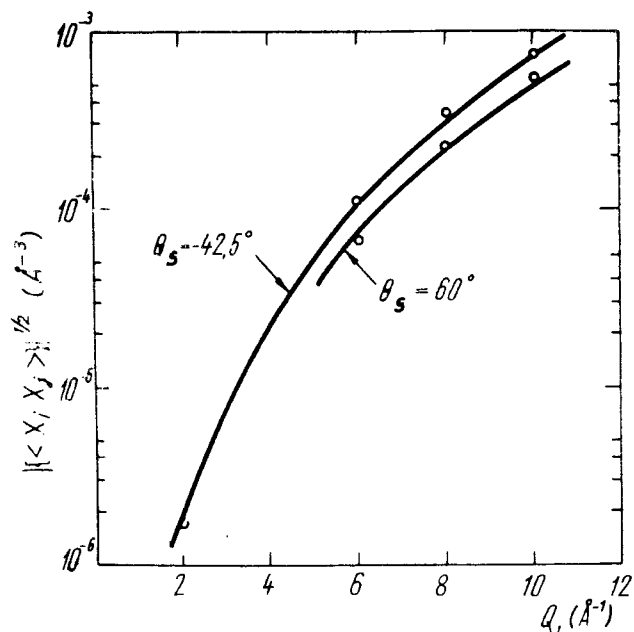


Рис. 4. Зависимость объема эллипсоида разрешения в \vec{Q} -пространстве от среднего вектора рассеяния Q_0 , расчет и эксперимент.

Пересечение поверхности, на которой $R(\vec{X}) = 0,5 R(0)$, с плоскостью $X_3 = 0$ в \vec{Q} -пространстве определяет эллипсы разрешения, изображенные на рис. 6. Представлены также соответствующие экспериментальные точки. Следует обратить внимание на различия в масштабах для различных порядков отражения. Небольшие систематические отклонения, которые наблюдаются и здесь, связаны с асимметрией нейтронной вспышки и могут быть описаны только выходом за рамки гауссовского приближения (см. работу¹⁹).

Совокупность данных, представленных выше, позволяет сделать заключение, что налажен надежный метод расчета функции разрешения, который может быть использован уверенно при анализе данных и планировании экспериментов по дифракции методом времени пролета.

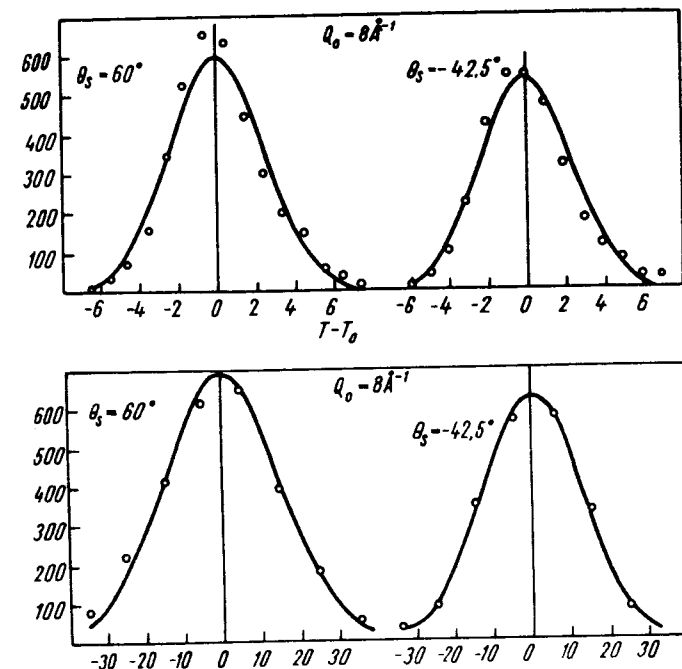


Рис. 5. Сверху: форма брэгговских пиков для отражения (444) от идеального монокристалла кремния в зависимости от канала анализатора, расчет и эксперимент. Ширина канала - 32 мкс. Внизу: то же самое в зависимости от угла отклонения в минутах от положения Брэгга в плоскости рассеяния. На обоих рисунках по оси ординат отложена скорость счета детектора в импульсах в секунду.

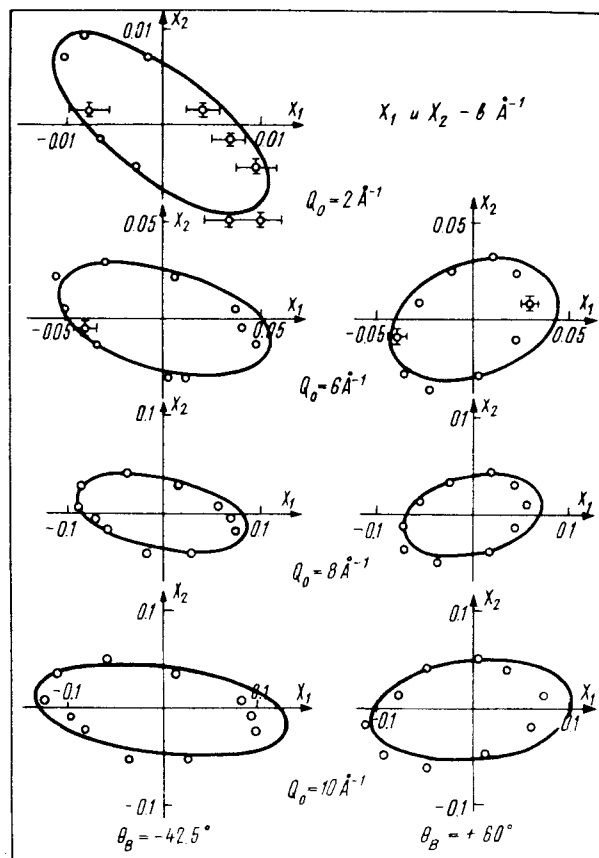


Рис. 6. Эллипсы разрешения в плоскости X_1, X_2 . Сплошные кривые - результаты расчета в гауссовом приближении, точки - результаты эксперимента.

Литература

1. M.J.Cooper, R.Nathans. Acta Cryst., A24, 431 (1968).
2. A.D.Stoica. Acta Cryst. A31, 139-192 (1975).
3. A.D.Stoica. Acta Cryst. A31, 193-196 (1975).
4. A Holas. Nukleonika. 13, 753 (1968).

5. А.М.Балагуров. Сообщение ОИЯИ, 3-7526, Дубна, 1973.
6. O.W.Dietrich, J.Als-Nielsen. In "Critical Phenomena", p.144, NBS Misc. Publ. 273, Washington, 1966.
7. С.Н.Ишмаев, Н.П.Садииков, А.А.Чернышев. Препринт ИАЭ, 2019 (1970).
8. С.Н.Ишмаев, Н.П.Садииков, А.А.Чернышев. Препринт ИАЭ, 2271 (1973).
9. M.Popovici, A.D.Stoica, A.Vajorek. Acta Cryst. A30, 1559 (1974).

Рукопись поступила в издательский отдел
21 мая 1975 года.